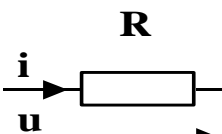
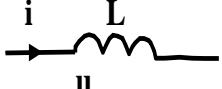
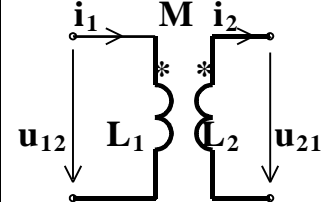


PINGE JA VOOLU VAHELISED SEOSED

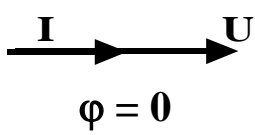
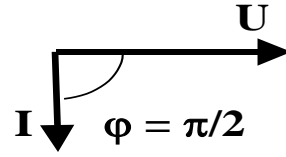
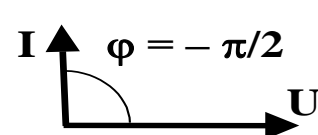
| | | | | |
|--|---|---|--|---|
| Passiivsed elemendid R, L, C, M |  |  |  |  |
| Pinge ja voolu hetkv. | $u = R i$ $i = G u$ | $u = L \frac{di}{dt}$ $i = \frac{1}{L} \int u dt$ | $i = C \frac{du}{dt}$ $u = \frac{1}{C} \int i dt$ | $u_{12} = M \frac{di_2}{dt}$ $u_{21} = M \frac{di_1}{dt}$ |
| Kompl.tak. ja juhtivus | $\underline{Z} = R$ $\underline{Y} = G$ | $\underline{Z} = j \omega L$ $\underline{Y} = -j / \omega L$ | $\underline{Z} = -j / \omega C$ $\underline{Y} = j \omega C$ | $\underline{Z}_m = j \omega M$ |

Siinusrežiimil $u = \sqrt{2} U \sin(\omega t + \Psi_u)$ $i = \sqrt{2} I \sin(\omega t + \Psi_i)$ $\phi = \Psi_u - \Psi_i$

Kompleksmeetod:

$$u = \text{Im}[\sqrt{2} \cdot \underline{U} \exp(j\omega t)]; \quad \underline{U} = \underline{U} \angle \Psi_u = \underline{U} \cos(\Psi_u) + j \underline{U} \sin(\Psi_u); \quad \underline{U} = \underline{Z} \underline{I}$$

$$i = \text{Im}[\sqrt{2} \cdot \underline{I} \exp(j\omega t)]; \quad \underline{I} = \underline{I} \angle \Psi_i = \underline{I} \cos(\Psi_i) + j \underline{I} \sin(\Psi_i); \quad \underline{I} = \underline{Y} \underline{U}$$

| | | | |
|------------------------|---|--|---|
| Ef-väärtused | $\underline{U} = R \underline{I}$ | $\underline{U} = \omega L \underline{I}$ | $\underline{I} = \omega C \underline{U}$ |
| Vektor-diagramm |  |  |  |

R – aktiivtak.; $X_L = \omega L$, $X_C = 1/\omega C$ – indukt.ja mahtuvuslik reaktiivtak.

G – aktiivjuht.; $B_L = 1/\omega L$, $B_C = \omega C$ – indukt.ja mahtuvuslik reaktiivjuht.

Komplekstakistus $\underline{Z} = R + jX$; kompleksi juhtivus $\underline{Y} = G - jB$; $\underline{Z} = 1/\underline{Y}$

RLC jadaühendus: näivtakistus $Z = \sqrt{R^2 + X^2}$; reaktiivtak. $X = X_L - X_C$

RLC rööpühendus: näivjuhtivus $Y = \sqrt{G^2 + B^2}$; reaktiivjuht. $B = B_L - B_C$